

이송속도의 주기적 변화를 이용한 듀랄루민재의 심공가공 특성

Characteristics of Deep Hole Machining for Duralumin Using Periodical Change of Feedrate

김용재*(경남대 대학원), 이윤경, 왕덕현, 김원일(경남대 기계자동화공학부)

Y. J. Kim*(Graduate School, Kyungnam Univ.),

Y. K. Lee, D. H. Wang, W. I. Kim(Kyungnam Univ.)

Abstract

This paper presents the experimental study of drilling for duralumin A2024 with intermittently decelerated feed rate. It is achieved through a programmed periodic increase and decrease in the feed rate using a machining center. The following experimental result were performed with the objective of solving chip to disposal problems. In conventional drilling of aluminum, long continuous chips are produced that wind around the drill causing difficulties in eliminating chips from the cutting zone. In order to acquire the basic data necessary to regulate the chip profile, the relationship between cutting variables and chip shape was investigated. The following conclusions are established from the experimental results. At a suitable feed fluctuation ratio, intermittently decelerated feed drilling proved successful in breaking chips to appropriate lengths while maintaining stable cutting. Thus, it is an effective method for improving chip disposal. The amplitude of the dynamic component of cutting force in intermittent feed drilling is influenced by the feed fluctuation ratio.

Key Words : Drilling(드릴가공), Intermittent feed (단속적 이송), Cutting force(절삭력), Chip disposal (칩처리), Feedrate fluctuation ratio(이송속도변동비), Roundness(진원도), Roughness(표면거칠기)

I. 서론

최근 산업사회는 컴퓨터의 발달과 더불어서 FMS, CIM 등 생산의 합리화 및 제품경쟁력의

강화를 위한 생산시스템의 자동화 및 무인화로 급진전되고 있다. 이러한 일련의 활동은 기계가 공에 있어서 경험자의 경험이나 숙련도보다 정리된 가공방법으로 가공하여 예측 가능한 가공성 및 효율성의 보장을 필요로 한다. 또한 금속가공 중 드릴가공은 선삭과 더불어 가장 중요한 공정 중 하나이며 모든 절삭공정 중 약 30%(막힌 구멍작업 22%)를 차지한다. 과거의 드릴가공은 대부분 높은 치수정밀도를 필요로 하지 않는 구멍의 가공이 대부분이었다. 그러나 드릴의 강성 및 동적 대칭성에 한계가 있기 때문에 절삭속도 및 치수정밀도를 높이려는 노력으로 공구가 점점 고경도화되어가는 추세이다. 반면, 고경도화된 공구는 가격면에서 대폭적인 호응을 얻지 못하고 있으며, 일반적인 피삭재의 가공에는 대부분 고속도강이 널리 사용된다. 또한 최근에 사용되는 피삭재는 가벼우면서 고경도인 소재 개발이 활발하여 특히 알루미늄에 마그네슘이나 아연을 첨가한 가벼운 고경도합금들이 항공기나 스포츠용구 등으로 널리 사용되고 있다. 특히, 그 중에서도 듀랄루민의 발달이 두드러진다.

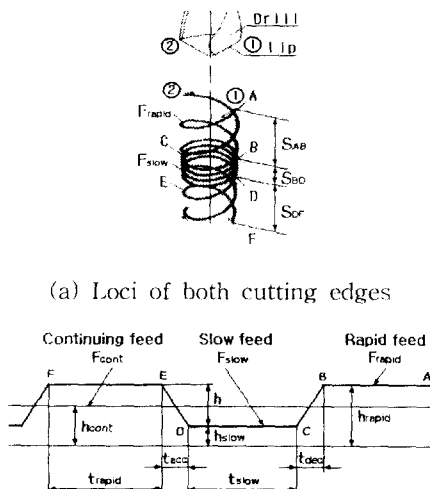
드릴가공에 대한 연구는 Tonshoff 등^[1], Chin 등^[2], DeVries 등^[3], Kasahara^[4]들의 학자들이 드릴 가공의 기술, 공구의 재료 및 형상에 따른 절삭력과 공구수명, 칩형상에 따른 압력신호와의 관계에 관해 연구하였다. Tlusty 등^[5]은 엔드밀에 있어서 절삭력의 동특성을 연구하였으며, Sakurai 등^[6]은 이송변동에 따른 칩의 처리에 관하여 연구하였다.

전통적인 알루미늄합금의 드릴가공에서, 발생되는 긴 연속형 칩은 드릴을 휘감아서 절삭영역으로부터 제거된 칩에 의하여 절삭을 어렵게 만든다. 따라서 이러한 난삭재의 드릴가공에서 발생된 칩에 의한 방해작용을 줄이기 위하여 칩처리의 개선은 중요하다. 따라서 미래 지향적인 소재인 듀랄루민의 드릴가공시 절삭조건에 따른 절삭력, 표면거칠기, 진원도의 변화 및 칩처리에

대한 연구는 가치 있는 일이라고 할 수 있다. 본 연구에서는 드릴루민(Duralumin) A2024 소재를 머시닝센터에서 기존의 연속적인 드릴가공뿐만 아니라 이송주기를 일정하게 변화시킨 단속적인 드릴가공의 수행을 통하여 발생되는 절삭력, 신호의 변화를 측정하여 비교분석하고 표면거칠기, 진원도 및 칩형상을 측정하였다. 칩처리의 개선을 위하여 절삭조건과 절삭력, 절삭조건과 칩형상 사이의 상호관계에 대한 메카니즘을 분석하여 그 특성을 규명하고자 하는데 그 복식을 두었다.

2. 관련이론

이송속도를 주기적으로 변화시킨 단속적 이송 드릴가공에서, 회전속도는 이송속도의 주기적인 증가 및 감소를 통하여 이송 속도가 변화하는 동안 일정하게 유지된다. 단속적 이송 드릴가공 메카니즘을 묘사하고 있는 절삭날의 운동은 Figure 1에서 나타내고 있다.



(b) Rapid and slow feed for different depth of cut
Figure 1 Illustration of intermittent feed drilling

Figure 1(a)는 이송속도의 주기적인 작용이 발생할 때 점①과 ②에 대한 절삭날 양쪽의 궤적을 나타내고 있다. 한편, Figure 1(b)는 절삭날에 관하여 절삭날에서 점①에 상응하는 절삭깊이 변동곡선을 나타내고 있다. Figure 1(a) 및 Figure 1(b)에서 보이는 것처럼, 고속이송속도 F_{rapid} [mm/s]는 절삭구간 S_{AB} 에서 저속이송속도 F_{slow} [mm/s]로 이해하여 절삭구간 S_{BD} 에 적용되었다. 단속적 이송 드릴가공은 가공이 일어나는 동안 이러한 작용의 반복된다. 고속이송속도 F_{rapid} 는 점A에서부터 점B까지 적용되었고, 즉시 고속이송속도 F_{rapid} 는 점

B에서 저속이송속도 F_{slow} 로 되돌려진다. 이것은 점B로부터 점C까지 t_{dec} 시간동안 드릴을 회전시키 사용하고, 이러한 휴지기동안 고속이송속도에서 절삭날 ②로부터 가공된 표면이 낮은 부분은 저속이송속도에서 절삭날 ①에 의하여 가공된 결과로서, 절삭깊이는 고속이송속도 F_{rapid} 에 대한 절삭깊이 h_{rapid} [mm]로부터 저속이송속도 F_{slow} 에 대한 절삭깊이 h_{slow} [mm]까지 급속하게 떨어진다. 이것은 점D로부터 점E까지 회전시키는데 t_{acc} 시간이 걸리고, 저속이송속도 F_{slow} 가 완전히 고속이송속도 F_{rapid} 로 변화하는 점이다. 이에 반하여 이러한 휴지기동안 절삭깊이는 h_{slow} [mm]로부터 h_{rapid} [mm]까지 급속하게 증가한다.

앞서 말한 것처럼, 절삭깊이의 변화는 이송 속도의 증가 및 감소에 기인하고 있다. 따라서, 고속이송속도 F_{rapid} 와 저속이송속도 F_{slow} 사이에 이송속도변동비(F_f) 변화에 관한 세부적인 실험을 위하여 다음과 같이 주었다.

$$F_f = \frac{F_{rapid}}{F_{slow}} \quad (1)$$

절삭깊이비 h_{rapid}/h_{slow} 는 이론적으로 이송속도변동비에 따라서 증가하고 감소하는 특성이 있다. 이것은 Figure 1(b)에서 관찰할 수 있는 것처럼, 절삭깊이의 급한 증가와 감소는 피삭재 표면에서 모멘트가 전동 임펄스에 영향을 주고 이송은 드릴을 반회전시키는데 잠시의 휴지시간까지 변화한다. 이러한 전동 임펄스의 특이한 특성은 그것의 발생과 강도가 변화된 F_f 와 일치하고, F_f 는 칩 형상에 크게 영향을 미친다.

3. 실험장치 및 방법

Figure 2에서와 같이, 드릴가공은 통일중공업의 TNV-40A Machining center에서 수행하였고, 절삭력 측정은 Kyowa(Japan)에서 제작한 SATO AST-MM 밀링용 공구동력계를 사용하였다.

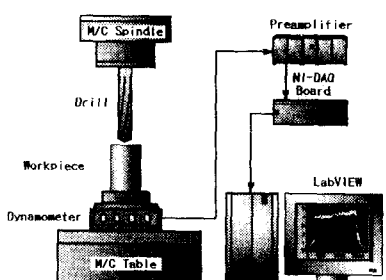
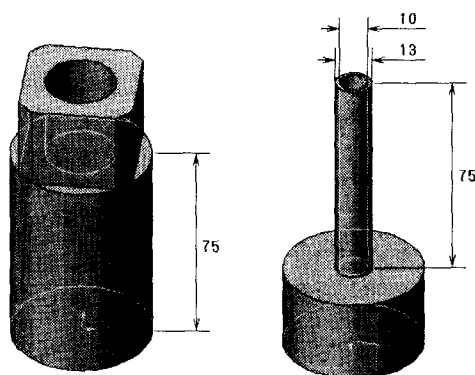


Figure 2 Diagram of experimental setup

Figure 2와 같이 밀링용 공구동력계 위에 피삭재를 클램핑하여 드릴가공을 수행하면서 검출된 신호를 Dynamic strain amplifier에서 증폭하고 증폭된 신호는 A/D board를 통하여 Analogue 신호로 변환시켰다. 또한 변환된 Analogue 신호는 Personal computer에서 NI(National Instrument)의 LabVIEW program을 실행하여 저장하였다.

절삭력 및 이송속도의 변화에 따른 가공성의 비교검토를 위해 공구현미경으로 침형상을 측정하고 진원도측정기로 진원도를 측정하였다.



(a) For cutting force (b) For chip formation
Figure 3 Dimension of testing workpiece

본 실험에 사용한 시험편은 $Al-Cu-Mg$ 계 알류미늄인 듀랄루민 A2024를 가공해 Figure 3과 같이 절삭력 및 침형상 측정용의 2 가지를 제작하였다.

또한 실험에 사용된 절삭공구는 태화기계(주)에서 생산된 $\phi 15\text{mm}$ 인 고속도강(HSS) 표준드릴을 사용하였다. 가공 시 드릴이 정확한 위치에서 진행할 수 있도록 수작업으로 Centering한 후 자동상태에서 절삭에 임하였다. 가공이 끝난 후 드릴이 빠져 나올 때 드릴홈(Flute)에 끼어있는 칩의 굽힘으로부터 구멍벽면을 최대한 보호하기 위하여 드릴회전을 정지시킨 상태에서 빠져 나오게 하고 수용성 절삭유형태의 유제를 공급하면서 가공하였다.

Table 1 Cutting conditions of conventional drilling test for duralumin A2024

Feed rate [mm/min]	227
Spindle speed [rpm]	1159
Drilling depth [mm]	75

기존의 연속적인 드릴가공에서는 관통침공을 Table 1의 절삭조건으로 가공하였다. 그리고 주기적인 이송변화에 의한 단속적인 드릴가공은 Table

2의 절삭조건을 사용하고 이송속도의 주기적인 변화는 프로그래밍을 통하여 획득하였다.

Table 2 Cutting conditions of intermittent feed drilling test for duralumin A2024

	Number of cutting condition				
	1	2	3	4	5
F_{rapid} (mm/min)	272	303	324	341	353
F_{slow} (mm/min)	182	151	130	113	101
F_f	1.5	2	2.5	3	3.5
N (rpm)	1159				

4. 실험결과 및 고찰

4.1 연속적인 드릴가공에서 F_f 와 절삭력 관계

기존의 연속적인 드릴가공과의 성과비교를 위하여, Table 1에서 주어진 절삭조건의 연속적인 드릴가공시 측정된 절삭력을 나타내었다. 절삭력과 침형상은 구멍깊이, 드릴의 작용에 의하여 변화하기 때문에 최초 관통으로부터 완전히 정지하기까지 드릴은 Figure 4에서 증명되고 있는 것과 같이 네 가지 단계로 분류하였다.

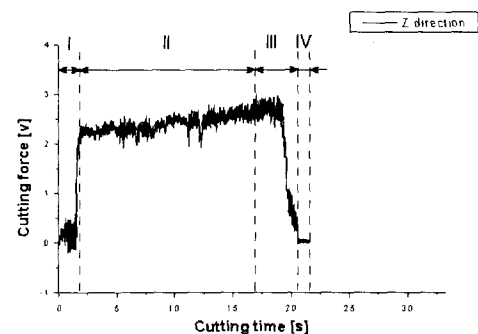


Figure 4 Cutting force in conventional drilling

단계 I은 치줄날(Chisel edge)과 피삭재 상단 사이에 접촉이 시작되어 전체 절삭날이 피삭재에 문어버릴 때를 나타내고 있고 이때 구멍 전체의 직경에 대한 드릴가공이 시작된다. 단계 II에서는 전체의 절삭날이 피삭재와 충돌한다. 이것은 안정적인 절삭력에 의하여 특성을 나타내는 것과 같이 안정적인 절삭현상이다. 단계 III에서는 절삭력이 일정하게 유지되다가 드릴이 피삭재를 관통하기 시작함으로써 절삭력이 급격하게 감소하는 특성을 나타내고 있다. 단계 IV는 치줄날의 완전한 정지에 앞서 절삭날의 완전한 정지 사이에 주기를 나타내고 있다.

이것은 연속적인 드릴가공에서 절삭력 성분이 단계 II에서 사실상 거의 일정하게 증가한다는 것을 Figure 4에서 나타내어진 곡선으로부터 알 수 있다. 단계 II는 가공시 발생된 신연속형 침이 드릴의 둘레를 뚫을 때 감속으로써 나타나는 침 처리에 대한 특성을 나타내었다. 드릴가공된 구멍에서 절삭력 성분은 가공된 구멍 벽에 대한 방해작용으로 인하여 단계 II의 중반부 이후로도 계속 증가한다. 또한 구멍 벽에 대한 방해작용은 단계 III으로 갈수록 더욱 증가하고 절삭력 성분의 점진적인 감소는 18sec 주위에서 시작된다.

4.2 단속적인 드릴가공에서 F_f 와 절삭력 관계

Figure 5는 Table 2에서 주어진 조건인 $F_f = 3$ 인 경우에 절삭력 측정결과를 나타내고 있다.

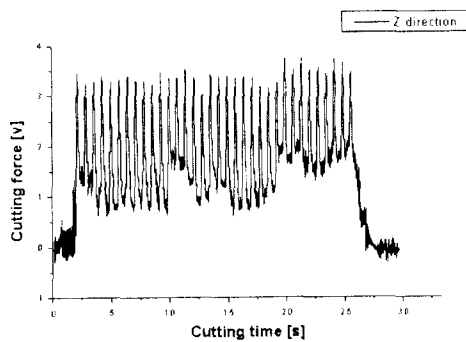


Figure 5 Measured cutting force in case of $F_f = 3$

이 측정결과로부터 얻어낼 수 있는 것은 단속적인 이송 드릴가공에서 절삭력은 이송의 변화를 응용한 주기적인 파동 때문에 그 성분이 발생함으로써 그 특성이 나타난다는 것이다. Figure 5에서 나타나고 있는 것처럼, 여러 가지 F_f 에 대한 절삭력 성분은 이송속도가 주기적으로 가속 및 감속되는 절삭상태와 관련되어 변화한다.

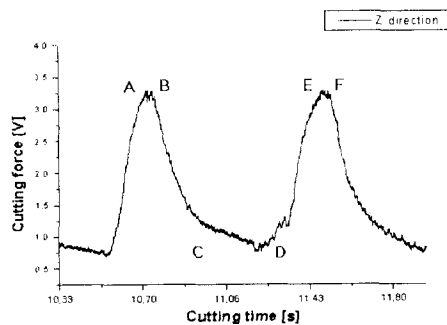


Figure 6 Measured cutting force in case of $F_f = 3$

Figure 6은 특정한 이송속도변동비 $F_f = 3$ 에 대한 절삭력 성분의 측정값을 나타내고 있는데, 대략 10~12sec사이의 절삭시간에 대한 절삭력 성분을 보여주고 있다.

이것은 절삭력 성분의 파동주기가 F_f 가 변화하는 것과 마찬가지로 변화한다는 사실을 이러한 측정결과에서 알 수 있다. 이것에서 관찰할 수 있는 것처럼, 최대값은 점A와 점B사이에 가속되는 이송영역에서 발생하고, 상대적으로 부드러운 곡선은 h_{rapid} 로부터 h_{slow} 까지 절삭깊이가 급격하게 감소하기 때문에 점B와 점C사이에서와 같이 나타난다. 점C와 점D사이에서 나타나는 최저값은 저속이송속도 F_{slow} 가 점C와 점D사이에서 적용되었을 것이라 생각된다. 드릴이 회전하는 동안에 점D와 점E사이의 신호의 급격한 증가는 h_{slow} 로부터 h_{rapid} 까지 절삭깊이의 감작스런 증가에 있다고 생각된다.

가공된 표면과 침에서 작용하는 절삭력과 진동 임펄스 사이에 강한 상호관계가 존재하고, 이러한 진동 임펄스는 침 처리에 영향을 미친다고 여겨진다. 또한 침이 드릴의 치婊날(Chisel edge)과 바깥 코너부에 대한 절삭날에서 구멍가공 작업을 제한하여 절삭능률을 저하시킨다.

Figure 7은 F_f 와 절삭력성분의 RMS값과 평균값 사이에 대한 측정결과를 보여주고 있다. 이 측정 결과는 F_f 가 증가함에 따라서 절삭력성분의 RMS값과 평균값이 점차적으로 감소하는 것을 볼 수 있다. 이것으로부터 절삭력성분의 RMS값과 평균값이 F_f 와 거의 반비례의 관계임이 명백하다.

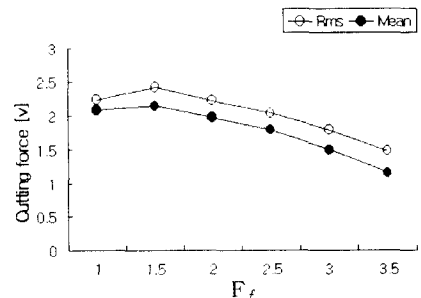


Figure 7 Relation between F_f and cutting force

반면, Figure 8은 F_f 와 절삭력성분의 진폭 사이에 대한 측정결과를 나타내고 있는데, F_f 가 증가함에 따라서 절삭력성분의 진폭은 계속 증가하고 있다. 따라서 절삭력성분의 진폭은 F_f 와 거의 비례하여 나타나고 있다.

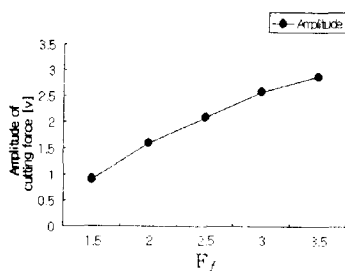


Figure 8 Relation between F_f and an amplitude of cutting force

4.3 칩 분해에서 F_f 의 효과

칩의 형상을 측정하기 위한 실린더형 시험편은 Figure 3.(b)에서 나타낸 것처럼 구멍가공 실험에서 이용된 것과 같은 13mm의 외경과 10mm의 내경의 시험편으로 실험을 수행하였고, 실험을 수행하기 위하여 선단각(Point angle) 118°, 나선 각(Helix angle) 32°, 여유각(Clearance angle) 16°의 형상기하를 가지는 $\phi 15\text{mm}$ 의 드릴을 사용하였다.

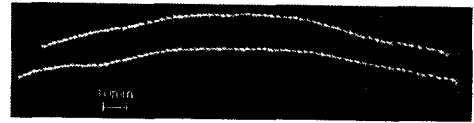
연속적인 드릴가공에서, 약 100~180mm정도의 긴 연속형 원추형상으로 된 나선형 칩이 단계 I과 단계 II 사이에서 형성되었으며, 이때 원추의 외경은 약 2.5mm로 매우 적고, 드릴홈(Flute) 때문에 칩이 원활하게 제거될 수 있었다. 하지만, 그러한 긴 연속형 칩은 공구 둘레를 감싸기 때문에 칩 처리에 대한 관점에서는 문제점으로 작용한다.

단속적인 이송 드릴가공에서, 약 100~150mm의 길이를 가지는 긴 연속형 원추형상으로 된 나선형 칩이 $F_f=1.5$ 에서 단계 I과 단계 II 사이에서 발생하였다. 그러나, 이송속도가 가속 및 감속되는 동안에 원추형상으로 된 나선형 칩 피치(Helical pitch)에서 차이는 나지 않았으며, 칩 피치의 평균값은 3mm였다. 그러므로, $F_f=1.5$ 의 경우에서 칩 분해는 명백하지 않다. F_f 의 값이 작으면 원추형상으로 된 나선형 칩 피치의 변동도 작고 또한 굽힘이 쉽게 발생하는 아주 얕은 칩을 형성함으로써 이송속도가 가속 및 감속되는 동안에 비교적 안정된 절삭상태는 칩 분해의 방해를 초래한다고 생각된다.

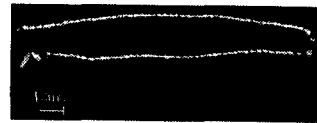
$F_f=2$ 의 경우에서도 100~150mm의 긴 연속형 원추형상으로 된 나선형 칩이 발생하였으나 $F_f=1.5$ 의 경우와 같이 칩 분해가 명백하지 안어서 고려하지 않았다. 그러나, 이송속도가 가속 및 감속되는 동안에 원추형상으로 된 나선형 칩 피치에서 명백한 차이가 없다고 할지라도, 피치의 평균값은 각각 대략적으로 2.5mm와 3mm였다.

Figure 9에서 나타난 것처럼 $F_f=3$ 의 경우, 원추형상으로 된 나선형 칩은 단계 I에서 단계 II

사이의 드릴가공을 제외하면 대략적으로 15~30mm의 길이로 절단되었다. 이 속도가 가속 및 감속되는 동안에 원추형상으로 된 나선형 칩 피치는 보다 명백한 차이를 보여주고 있다. $F_f=1$ 일 때 및 $F_f=3$ 일 때에 대한 칩 피치의 평균값은 각각 약 2.4mm와 3.1mm였다.



(a) In case of $F_f=1$



(b) In case of $F_f=3$

Figure 9 Comparison of chip shape

$F_f=3.5$ 의 경우, 칩은 보다 짧은 길이에서 분해되기 시작하는데, 이러한 경향은 F_f 가 증가하면서 이 속도가 가속 및 감속되는 주기도 길어짐으로써 칩 분해가 명백한 차이를 보이는 것이라고 생각된다. 그리고 F_f 가 증가할수록 발생되는 칩의 길이가 짧아져 보다 원활한 칩 처리가 이루어지는 것으로 생각된다.

4.4 진원도 및 표면거칠기

F_f 에 따른 진원도를 측정하기 위하여 가공된 심공의 입구 및 출구 부분에서 측정한 진원도값의 평균치를 Figure 10에 나타내었다.

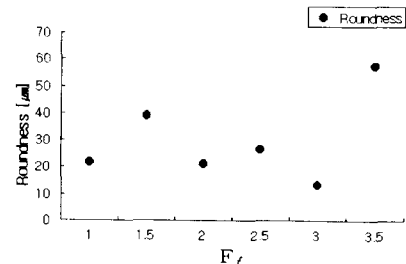
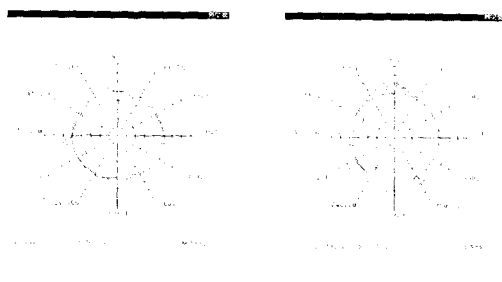


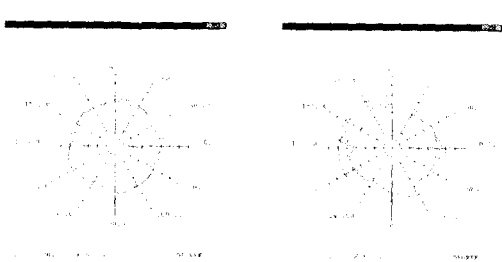
Figure 10 Comparison of roundness

Figure 11은 $F_f=1$ 일 때, Figure 12는 $F_f=3$ 일 때의 진원도 측정결과를 나타내고 있다. 진원도값은 $F_f=1$ 인 연속적인 드릴가공이 양호한 값을 나타내고 있다. 이후 주기적인 이송변화를 가

함으로써 진원도값이 대체적으로 나쁘게 나타나고 있으나, $F_f = 3$ 일 때는 연속적인 드릴가공보다 더욱 양호한 진원도값을 나타내었다.



(a) In case of inlet (b) In case of outlet
Figure 11 Roundness in case of $F_f = 1$



(a) In case of inlet (b) In case of outlet
Figure 12 Roundness in case of $F_f = 3$

F_f 에 따른 표면거칠기를 측정하기 위하여 가공된 심공의 이송방향(Z축방향)으로 측정한 최대표면거칠기 (R_{max})값들의 평균치를 Figure 13에 나타내었다.

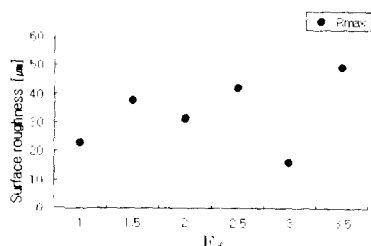


Figure 13 Comparison of surface roughness

Figure 13에서 나타난 것과 같이 연속적인 드릴가공 즉 $F_f = 1$ 인 경우가 이송속도에 변화를 준 경우보다 대체적으로 양호한 표면거칠기값을 보였다. 점차 이송에 주기적인 변화를 가짐으로써 표면거칠기가 대체적으로 나쁘게 나타나고 있지만 이송속도변동비 $F_f = 3$ 일 때는 연속적인 드릴가

공보다 양호한 표면거칠기값을 나타내고 있다.

진원도 및 표면거칠기 측정결과를 통하여, 드릴가공시 이송속도의 적정한 주기로 변화시켜 적당한 길이에서 칩을 분해시켜줌으로써 연속적인 드릴가공보다 양호한 가공면을 얻을 수 있었다.

5. 결론

듀얼루민의 드릴가공에서, 긴 연속형 칩은 드릴을 회감아서 절삭영역으로부터 제거된 칩에 의하여 절삭을 어렵게 만든다. 칩 윤곽을 조절하기 위하여 필요한 기본적인 네이터 획득을 위하여, 절삭 변수와 칩 형상 사이의 관계를 연구하였다. 실험적 결과로부터 다음의 결론을 확립할 수 있었다.

적정한 F_f 에서, 단속적 이송 드릴가공은 안정된 절삭을 유지하는 동안 적당한 길이에서 칩을 파단시킴으로써 성공적으로 실행하였다. 따라서 이것은 칩 처리를 개선하기 위하여 효과적인 방법이다.

드릴가공시 칩의 절단속도는 전단각이 큰 변화량을 허용하는 F_f 에서 높았으며, 단속적 이송 드릴가공에서 절삭력성분의 진폭은 F_f 에 의해서 영향을 받았다.

참고문헌

- [1] H. K. Tonshoff and W. Sping, "Machining of Holes Developments in Drilling Technology", Annals of the CIRP, Vol. 43, PP. 551-561, 1994.
- [2] J. H. Chin and J. S. Wu, "Mathematical modeis and Experiments for Chip Signals of Single-Edge Deep Hole Drilling", Vol. 33, No. 3, PP. 507-519, 1993.
- [3] M. F. DeVries and M. K. Croscheck, "An Investigation of the Cutting Mechanisms of the New point Drill", Annals of the CIRP, Vol. 37, PP. 73-78, 1988.
- [4] K. Kasahara, A. Hicota and Y. Kanda, "GEometrical Analysis and Preliminary Experimental Results", JSPE, Vol. 60, No. 3, PP. 372-377, 1944.
- [5] J. Thlusty and P. Macneil, "Dynamic of Cutting Force in End Milling", Annals of CIRP, Vol. 24, PP. 21-25, 1975.
- [6] K. Sakurai and K. Adachi, "Chip Disposal In Intermittently Decelerated Feed Drilling" Thirty-Second International MATADOR Conference held in Manchester 10th-11th, pp. 305-310, 1997.